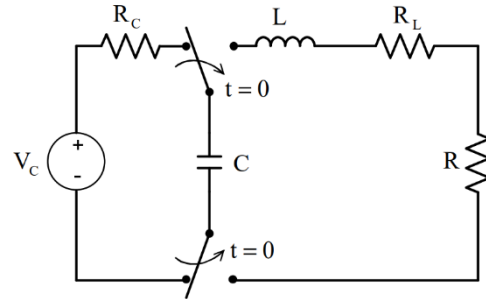


Ejercicio 1 (3 puntos)

Un desfibrilador es un dispositivo que trata de convertir un ritmo anormal del corazón, potencialmente mortal, en un ritmo normal. Dos electrodos iguales de unos 50 cm² de superficie se sitúan sobre el pecho de tal forma que la corriente atraviesa la región del corazón. La figura adjunta muestra el esquema básico de un desfibrilador. Un condensador C , inicialmente cargado, se descarga sobre el pecho del paciente a través de una bobina L de resistencia interna R_L . R engloba las resistencias de los electrodos y del tejido.



El circuito lleva un tiempo largo con los interruptores en la posición que se muestra en la figura. En el instante $t=0$, los interruptores cambian de posición para producir la descarga eléctrica sobre el paciente.

(i) Dibuja el circuito para $t > 0$ y obtenga la ecuación diferencial de la corriente $i(t)$ que atraviesa el tórax del individuo durante la descarga con sus adecuadas condiciones iniciales (tensión en el condensador). Aplicación numérica (valores típicos): $V_c=5$ kV, $R_c=0,1$ M Ω , $L=100$ mH, $R_L=15$ Ω , $C=20$ μ F y $R=50$ Ω .

(ii) Si se quiere aplicar una segunda descarga, ¿cuánto tiempo mínimo tiene que transcurrir entre ambas descargas?

(iii) El valor de R disminuye con descargas sucesivas (daño en el tejido). Explíquese cómo afecta a la corriente en el tórax a partir de la teoría de sistemas de segundo orden.

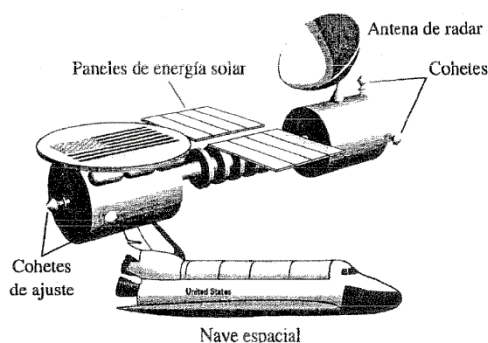
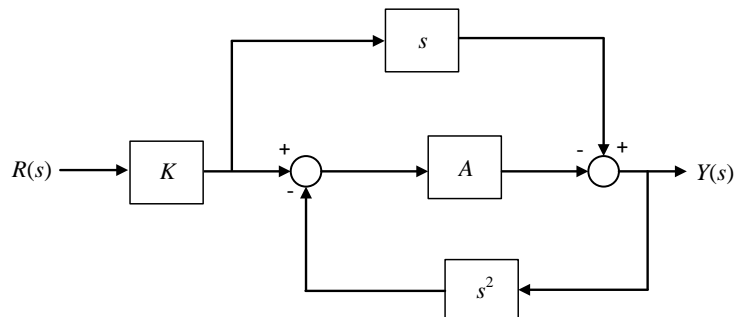
(iv) Partiendo del circuito equivalente en el dominio de s para $t > 0$ (con C cargado inicialmente a 5 kV: $v(0)=5000$), obtenga la respuesta analítica de $i(t)$ y un esbozo de la misma.

Ejercicio 2 (2,5 puntos)

Dado el sistema de control de la figura:

(i) Estudia su estabilidad en función de K y A .

(ii) Considerando $A=1$, determina el tipo de sistema y los errores verdaderos estacionarios, dependientes de K , ante escalón, rampa y parábola. Analiza los resultados.



Ejercicio 3 (3 puntos)

La ilustración de la figura muestra una versión de una estación espacial. El posicionamiento de la misma con respecto al sol y la Tierra es crítica ya que se requiere generar energía y comunicaciones adecuadamente. La orientación de la estación espacial se quiere controlar a través de un lazo cerrado constituido por una realimentación unitaria y un actuador y regulador representados por la siguiente función de transferencia:

$$G(s) = \frac{25K}{s(s+5)(s+20)}$$

(i) Indica para qué valores de K el sistema es estable. Justifica tu respuesta utilizando la gráfica del lugar de las raíces que has dibujado.

(ii) Diseña un compensador $G_c(s)$ que permita obtener un error de velocidad del 1% y una respuesta estable.

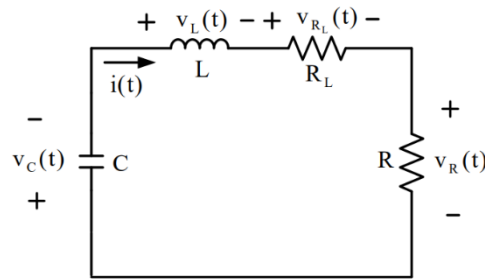
Ejercicio 4 (1,5 puntos)

Dibuje los diagramas de Bode de módulo y fase de los siguientes términos:

(i) $1/[1+(s/a)]$, (ii) $1/[1+(s/a)]^\alpha$ con $0 < \alpha < 1$. ¿Qué evolución se observa en función de α ?

Ejercicio 1

(i) Dibujamos el circuito para $t > 0$:



Aplicando la ley de Kirchhoff de tensiones (LKT) y expresando todas las tensiones en función de la corriente (todos los elementos están conectados en serie), se tiene:

$$v_C(t) + v_L(t) + v_{R_L}(t) + v_R(t) = 0 \rightarrow \frac{1}{C} \int i(t) dt + L \frac{di(t)}{dt} + R_L i(t) + R i(t) = 0$$

Todos los términos se derivan para eliminar la integral y, posteriormente, se reordena y normaliza:

$$\frac{1}{C} i(t) + L \frac{d^2 i(t)}{dt^2} + (R_L + R) \frac{di(t)}{dt} = 0 \rightarrow \frac{d^2 i(t)}{dt^2} + \frac{R_L + R}{L} \frac{di(t)}{dt} + \frac{1}{LC} i(t) = 0$$

Obsérvese que el condensador se ha tomado con criterio receptor (corriente $i(t)$ entra por el borne positivo de $v_C(t)$). Si hubiéramos tomado el condensador con criterio generador (pues es el que proporciona la energía al circuito), tendríamos el borne “+” de $v_C(t)$ en la placa superior y al aplicar la LKT hubiéramos obtenido:

$$-v_C(t) + v_L(t) + v_{R_L}(t) + v_R(t) = 0$$

Sin embargo, la ecuación de definición del condensador se refiere al criterio receptor y al escribirla con criterio generador hay que poner un signo menos:

$$i_C(t) = -C \frac{dv_C(t)}{dt} \rightarrow v_C(t) = -\frac{1}{C} \int i(t) dt$$

que sustituido en la expresión anterior proporciona la misma ecuación diferencial para $i(t)$. Nótese, además, el miembro de la derecha de la ecuación diferencial resultante es nulo, pues no hay alimentación “independiente” del circuito, más allá de la energía almacenada en el condensador: $v_C(0) = 5 \text{ kV}$.

(ii) A partir de este apartado, se considera la aplicación numérica.

Si se quiere una nueva descarga, el condensador ha de cargarse otra vez y, por tanto, se deben conmutar los interruptores a la posición inicial. El condensador se carga a 5 kV a través de la resistencia de $0,1 \text{ M}\Omega$. La constante de tiempo es $\tau = RC = 10^5 \times 20 \cdot 10^{-6} = 2 \text{ s}$. Con tres constantes de tiempo (6 s) el condensador ya se ha cargado al 95% y con cinco (10 s) se ha cargado al 99%. Por tanto, antes de una nueva descarga deben transcurrir, por ejemplo, entre 6 y 10 segundos.

(iii) En cada descarga el tejido se daña más y disminuye su resistencia. Por tanto, R es cada vez más pequeña. Desde la ecuación diferencial podemos obtener la pulsación natural y el amortiguamiento:

$$\omega_n = \frac{1}{\sqrt{LC}} \quad \text{y} \quad \xi = \frac{R_L + R}{2} \sqrt{\frac{C}{L}}$$

Al disminuir R , el amortiguamiento (ξ) se hace cada vez más pequeño. La frecuencia natural ω_n no cambia porque depende sólo de L y C que no varían. En efecto, la frecuencia del seno es la frecuencia natural amortiguada (ω_d):

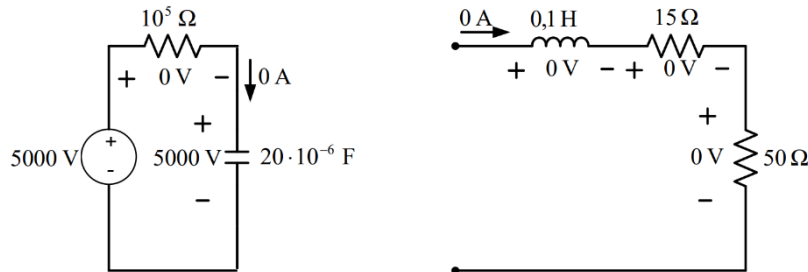
$$\omega_d = \omega_n \sqrt{1 - \xi^2}$$

y la exponencial que multiplica al seno es:

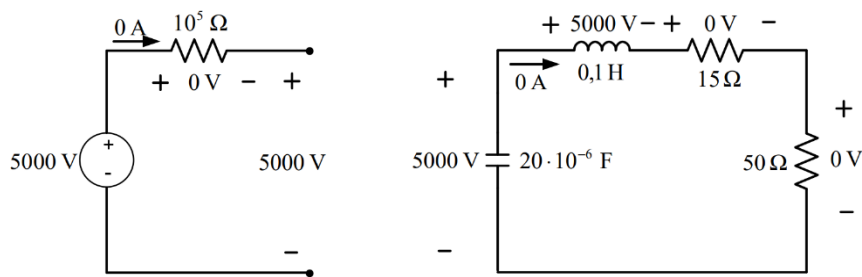
$$e^{-\zeta\omega_n t} = e^{-t/\tau_n}$$

cuya constante de tiempo $1/\zeta\omega_n$. Al decrecer ζ aumentan tanto ω_d como la constante de tiempo. La corriente es más rápida (en frecuencia) y tarda más en extinguirse. Al haber disminuido R , también la corriente será mayor en amplitud (valor de la sobreoscilación).

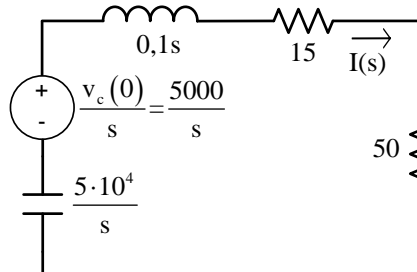
(iv) Circuito en $t=0^-$:



Circuito en $t=0^+$:



Por tanto, el circuito de interés en el dominio de s para $t > 0$, resulta:



Con una inspección sencilla del circuito, se tiene que:

$$I(s) = \frac{5000/s}{(5 \cdot 10^4/s) + 65 + 0.1s} = \frac{5 \cdot 10^4}{s^2 + 650s + 5 \cdot 10^5}$$

Reordenando términos para comparar con las tablas de la transformada de Laplace, resulta:

$$I(s) = \frac{5 \cdot 10^4}{(s+325)^2 + 628^2} = \frac{5 \cdot 10^4}{628} \frac{628}{(s+325)^2 + 628^2}$$

Y, finalmente, antitransformando al dominio del tiempo:

$$i(t) = 79,62e^{-325t} \sin(628t)$$

La corriente $i(t)$ parte de 0 A (pues $i_L(0^+) = 0$ A) y la pendiente en el origen es de $5 \cdot 10^4$ A/s (pues $di_L(0^+)/dt = 5 \cdot 10^4$ A/s, ver circuito en $t=0^+$). El valor tan elevado de la pendiente hace que visualmente la gráfica sea casi vertical al principio. Los máximos/mínimos se alcanzan en:

$$\begin{aligned} \frac{di(t)}{dt} &= 0 \rightarrow 0 = 79,62(-325)e^{-325t} \sin(628t) + \\ &\quad + 79,62e^{-325t}(628)\cos(628t) = \\ &= 79,62e^{-325t}[-325\sin(628t) + 628\cos(628t)] \rightarrow \end{aligned}$$

$$\begin{aligned}
 &\rightarrow -325\sin(628t) + 628\cos(628t) = 0 \rightarrow \tan(628t) = \frac{628}{325} \rightarrow \\
 &\rightarrow t_p = \frac{1}{628} \arctan\left(\frac{628}{325}\right) = \frac{1}{628} (1,0932 + k\pi) = 0,0017 + 0,0050k \text{ s con } k=1,2,3...
 \end{aligned}$$

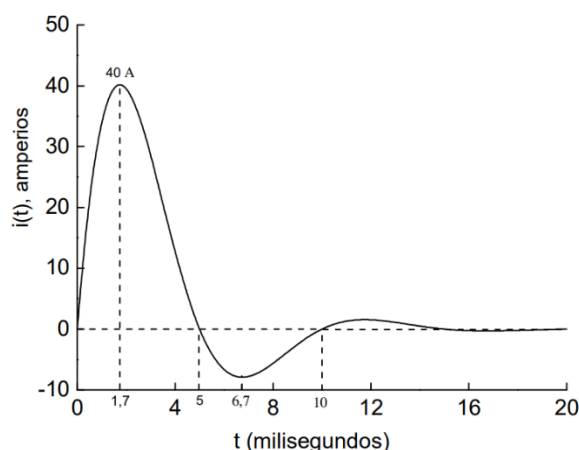
Vemos que el primer máximo lo alcanza en $t=0,0017$ s ($k=0$) y el mínimo siguiente en $t=0,0067$ ($k=1$). El valor máximo en $t=0,0017$ s es:

$$i(t_p) = 79,62e^{-325 \cdot (0,0017)} \sin(628 \cdot 0,0017) = 40 \text{ A}$$

Puede comprobarse que el valor del primer mínimo $i(0,0067)$ es de aproximadamente -8 A. Los pasos por 0 se obtienen al resolver:

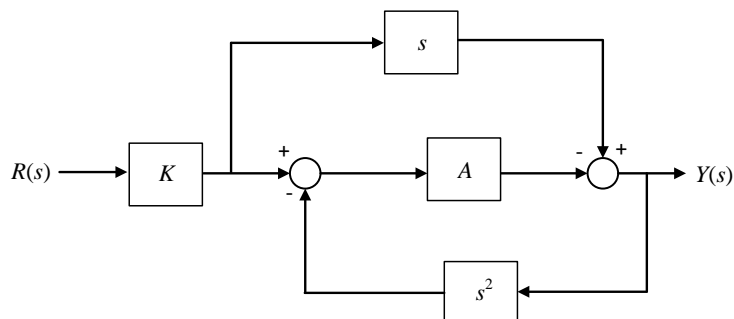
$$i(t) = 79,62e^{-325t} \sin(628t) = 0 \rightarrow \sin(628t) = 0 \rightarrow t_a = \frac{k\pi}{628} \text{ s} = 0,0050k \text{ s}$$

Se ha señalado el paso por 0 en el instante $t=5$ ms. El siguiente paso por 0 ocurre en $t=10$ ms. Obsérvese que la frecuencia de la señal sinusoidal es precisamente de 628 rad/s (frecuencia natural amortiguada, ω_d) que corresponde a un período de 10 ms (como se señala en la gráfica). La constante de tiempo es $\tau=1/325$ s, que es lo que divide al “-t” en la exponencial, y es también la parte real, invertida y cambiada de signo, de las raíces complejas conjugadas obtenidas. Fijémonos que la corriente se puede considerar extinguida cuando han transcurrido aproximadamente 15 ms (tiempo equivalente a 5 veces la constante de tiempo). Como se observa en la gráfica, a partir de 15 ms, la corriente es prácticamente nula.

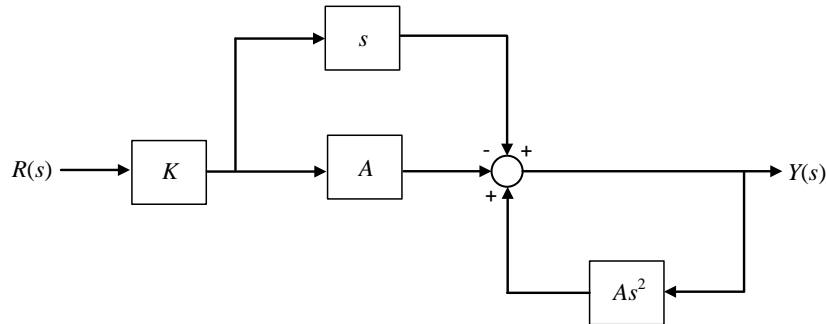


Ejercicio 2

(i) En primer lugar, se debe extraer la función de transferencia en lazo cerrado, $Y(s)/R(s)$, aplicando el álgebra de bloques. Se tiene:



Aparece una asociación en paralelo y un *feedback* anidados, por lo que hay que “desenredar” dicho conjunto. Se propone “mover” el punto de resta correspondiente a la retroalimentación (izquierda) hacia la derecha “saltando” el bloque A . De este modo, los puntos de suma se unirían (teniendo cuidado con los signos) y se podría considerar tan solo uno con tres entradas y una salida:



Resolviendo el paralelo y el *feedback*, se obtienen tres bloques asociados en cascada: K , $s-A$ y $1/[1-As^2]$, resultando:

$$R(s) \longrightarrow \boxed{\frac{K(s-A)}{1-As^2}} \longrightarrow Y(s)$$

Extrayendo el polinomio del denominador de la función de transferencia obtenida, $1-As^2$, se observa que no está completo, pues el coeficiente que multiplica al término s es 0, y además el que multiplica al término de mayor grado, s^2 , es negativo. Por tanto:

- $A > 0$: Sistema inestable.
- $A < 0$: Sistema críticamente estable (frecuencia de oscilación: $\omega = \sqrt{|A|}$ rad/s).

Nótese que si $A=0$, se tiene una función de transferencia no propia (grado del numerador mayor que el denominador). Finalmente, cabe destacar que el parámetro K no aparece en el denominador, por lo que no tiene impacto en la estabilidad del sistema.

(ii) Con $A=1$, se tiene:

$$\frac{Y(s)}{R(s)} = \frac{K(s-1)}{1-s^2}$$

El error verdadero resulta:

$$E(s) = R(s) - Y(s) = R(s) \left[1 - \frac{K(s-1)}{1-s^2} \right] = R(s) \left[\frac{(1+K) - Ks-s^2}{1-s^2} \right]$$

Sustituyendo para cada una de las entradas solicitadas, se podrían obtener los errores verdaderos solicitados utilizando el teorema del valor final. Comenzamos considerando una entrada en escalón unitario:

$$e_{ss, R(s)=\frac{1}{s}} = \lim_{s \rightarrow 0} sE(s) = \lim_{s \rightarrow 0} s \frac{1}{s} \left[\frac{(1+K) - Ks-s^2}{1-s^2} \right] = 1+K$$

Al obtener un error finito, se puede deducir que se trata de un sistema tipo 0 y que los errores frente a rampa y parábola son infinitos.

Ejercicio 3

(i) Nombramos los dos bloques principales:

$$G(s) = \frac{25}{s(s+5)(s+20)} \quad \text{y} \quad H(s) = 1$$

A continuación, implementamos los pasos necesarios para realizar el bosquejo del LDR.

- Paso 1: Identificación y ubicación de polos y ceros en lazo abierto. Se tienen 3 polos en 0, -5 y -20 (semiplano negativo del eje real) y ningún cero.
- Paso 2: Número de ramas. Por lo dado anteriormente: $n=3$ y $m=0$. Por tanto, el número de ramas es: 3. Nótese que n y m denotan el número de polos y ceros, respectivamente.

- Paso 3: Identificación de segmentos sobre el eje real. A partir de los datos provistos en el paso 1, se identifica fácilmente que los segmentos que pertenecen al LDR son; de 0 a -5 y -20 a $-\infty$. Nótese que los rangos dados no indican el sentido de las ramas.
- Paso 4: Cálculo de asíntotas.
 - a) Número de asíntotas: $n-m=3$.
 - b) Ángulo de las asíntotas: 60° , 180° y 300° .
 - c) Centroide:

$$\sigma = \frac{\sum \text{polos} - \sum \text{ceros}}{n^\circ \text{ polos} - n^\circ \text{ ceros}} = \frac{(0-5-20)}{3-0} = -8,33$$

- Paso 5: Puntos de corte con el eje imaginario. Nos fijamos en el polinomio auxiliar:

$$1+KG(s)H(s)=1+K\frac{25}{s(s+5)(s+20)}=\frac{s(s+5)(s+20)+25K}{s(s+5)(s+20)}\rightarrow s^3+25s^2+100s+25K$$

Estudiamos bajo qué condiciones, se pueden obtener raíces complejas conjugadas utilizando el criterio de Routh-Hurwitz:

s^3	1	100
s^2	25	$25K$
s	$100-K$	
s^0	$25K$	

Se obtiene una fila de ceros si $K=100$ (fila de s). Por tanto, sustituyendo dicho valor en el polinomio auxiliar $P(s)$ -construido a partir de la fila de encima-, podemos obtener el valor de los puntos de corte.

$$P(s)=25s^2+2500=0 \rightarrow s=\pm j\sqrt{100}=\pm j10$$

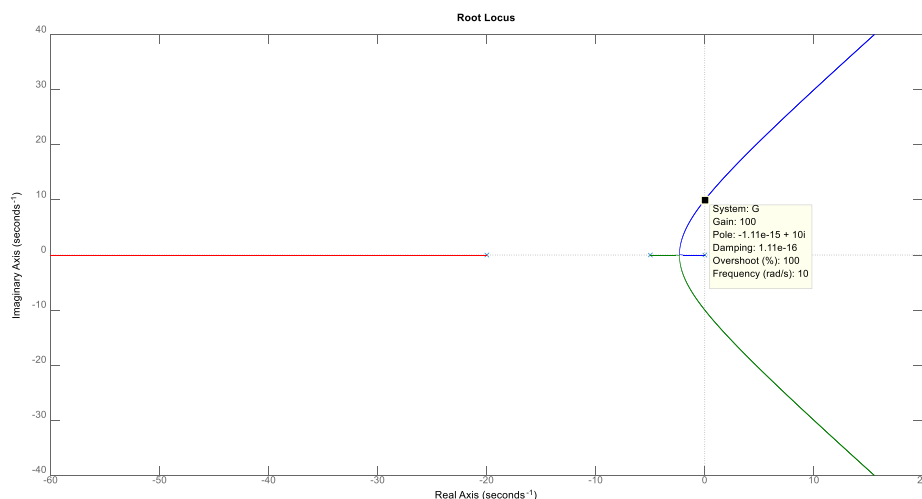
- Paso 6: Puntos de ruptura o salida del eje real. En este punto, es necesario conocer el sentido de las ramas. Para ello, imponemos:

$$1+KG(s)H(s)=0 \rightarrow 1+K\frac{25}{s(s+5)(s+20)}=0 \rightarrow K=-\left(\frac{1}{25}s^3+s^2+4s\right)$$

$$\frac{dK}{ds}=-\frac{3}{25}s^2-2s-4=0 \rightarrow s=-2,32 \quad (s=-14,34 \text{ no pertenece al LDR})$$

- Paso 7: Ángulo de salida o llegada de las raíces. Ya que no existen ni polos ni ceros con parte real y compleja conjugada, este paso no es necesario de llevar a cabo.

Por tanto, finalmente resulta:



A partir del bosquejo del LDR, se observa que el eje imaginario se rebasa (del semiplano negativo al positivo del eje real) justo cuando $K=100$ -véase paso 5-. Por tanto, se tiene:

- $0 < K < 100$: Sistema estable.
- $K=100$: Sistema críticamente estable (frecuencia de oscilación: $\omega=10$ rad/s).
- $K > 100$: Sistema inestable.

(ii) En primer lugar, se calcula la función de transferencia del error de control frente a la entrada, $E(s)/R(s)$, considerando un control proporcional K :

$$\frac{E(s)}{R(s)} = \frac{1}{1 + K \frac{25}{s(s+5)(s+20)}} = \frac{s^3 + 25s^2 + 100s}{s^3 + 25s^2 + 100s + 25K}$$

Se aplica el teorema del valor final, considerando una entrada rampa (velocidad):

$$e_{ss} \underset{R(s)=\frac{1}{s^2}}{=} \lim_{s \rightarrow 0} sE(s) = \lim_{s \rightarrow 0} s \frac{1}{s^2} \left[\frac{s^3 + 25s^2 + 100s}{s^3 + 25s^2 + 100s + 25K} \right] = \frac{100}{25K}$$

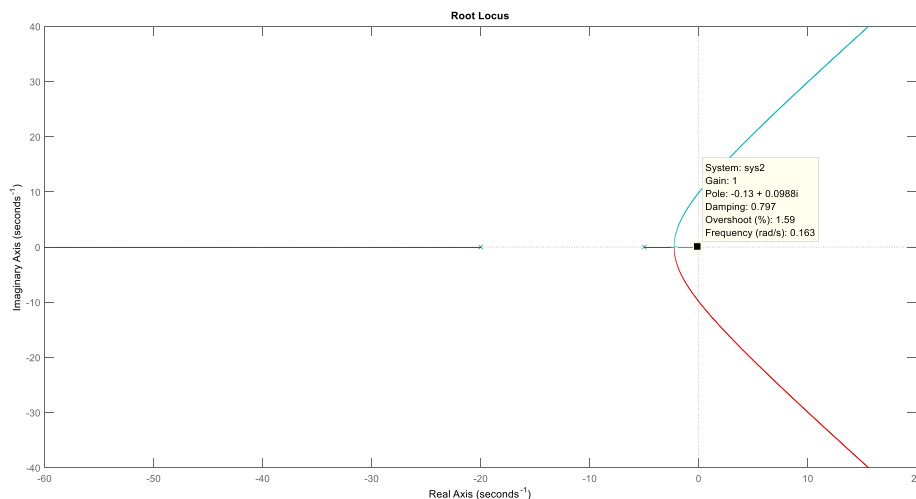
Fijando $100/25K=0,01$, resulta $K=400$. En este escenario, se tiene un sistema inestable -véase apartado (i)-. Por tanto, un control proporcional no es suficiente y por ello, se requiere implementar un control “más sofisticado”. Se propone un compensador de adelanto/retardo.

A partir del requerimiento principal, se puede fijar:

$$\frac{E(s)}{R(s)} = \frac{1}{1 + G_c(s) \frac{25}{s(s+5)(s+20)}} = \frac{1}{1 + K_c \frac{s+z_c}{s+p_c} \frac{25}{s(s+5)(s+20)}}$$

$$e_{ss} \underset{R(s)=\frac{1}{s^2}}{=} \lim_{s \rightarrow 0} sE(s) = \lim_{s \rightarrow 0} s \frac{1}{s^2} \left[\frac{1}{1 + K_c \frac{s+z_c}{s+p_c} \frac{25}{s(s+5)(s+20)}} \right] = \frac{1}{K_c \frac{z_c}{p_c} \frac{25}{100}} = 0,01$$

Si, por ejemplo, $K_c=1$, se obtiene la relación: $z_c/p_c=400$. Para no “modificar” en exceso la respuesta dinámica, seleccionamos componentes que se encuentren muy cerca del origen. Por ejemplo: $z_c=-0,1$ y $p_c=-0,00025$. En efecto, se tiene, además, un sistema estable:



Ejercicio 4

Para el análisis de respuesta en frecuencia, se realiza la sustitución $s=j\omega$ (frecuencias físicas).

(i) Se tiene:

$$T_1(j\omega) = \frac{1}{1 + \frac{j\omega}{a}}$$

Diagrama de Bode de módulo:

$$|T_1(j\omega)|_{dB} = 20 \log \left| \frac{1}{1 + \frac{j\omega}{a}} \right| = 20 \log \frac{|1|}{\left| 1 + \frac{j\omega}{a} \right|} = 20 \log |1| - 20 \log \left| 1 + \frac{j\omega}{a} \right| = -20 \log \left| 1 + \frac{j\omega}{a} \right|$$

Dos aproximaciones:

$$-20 \log \left| 1 + \frac{j\omega}{a} \right| \approx \begin{cases} -20 \log |1| = 0, & \frac{\omega}{a} \ll 1 \\ -20 \log \left| 1 + \frac{j\omega}{a} \right| = -20 \log \sqrt{0^2 + \left(\frac{\omega}{a} \right)^2} = -20 \log \left(\frac{\omega}{a} \right), & \frac{\omega}{a} \gg 1 \end{cases}$$

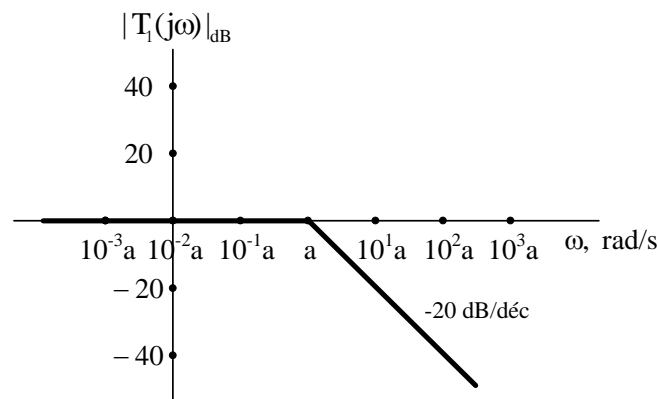


Diagrama de Bode de fase:

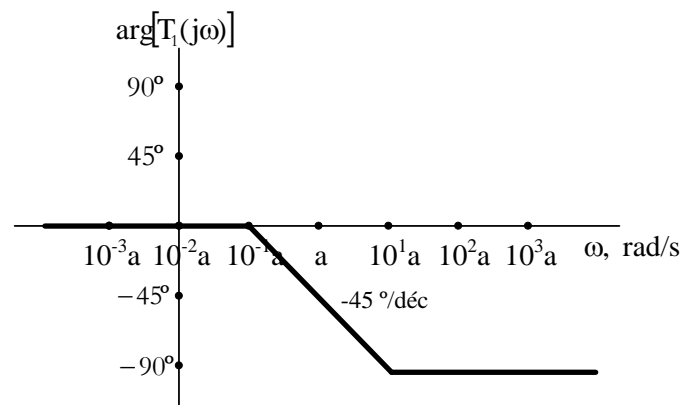
$$\arg[T_1(j\omega)] = \arg \left[\frac{1}{1 + \frac{j\omega}{a}} \right] = \arg[1] - \arg \left[1 + \frac{j\omega}{a} \right] = -\arg \left[1 + \frac{j\omega}{a} \right]$$

Para dibujar este término, se realizan dos aproximaciones, y un cálculo a una determinada frecuencia:

$$-\arg \left[1 + \frac{j\omega}{a} \right] \approx \begin{cases} -\arg[1] = 0^\circ, & \frac{\omega}{a} \ll 1 \\ -\arg \left[\frac{j\omega}{a} \right] = -90^\circ, & \frac{\omega}{a} \gg 1 \end{cases}$$

$$\omega = a \rightarrow -\arg \left[1 + \frac{ja}{a} \right] = -\arg[1 + j] = -45^\circ$$

Resultando:



(ii) Análogamente, se analiza el mismo polo simple pero elevado a un número no entero, $0 < \alpha < 1$:

$$T_2(j\omega) = \frac{1}{\left(1 + \frac{j\omega}{a}\right)^\alpha}$$

Diagrama de Bode de módulo:

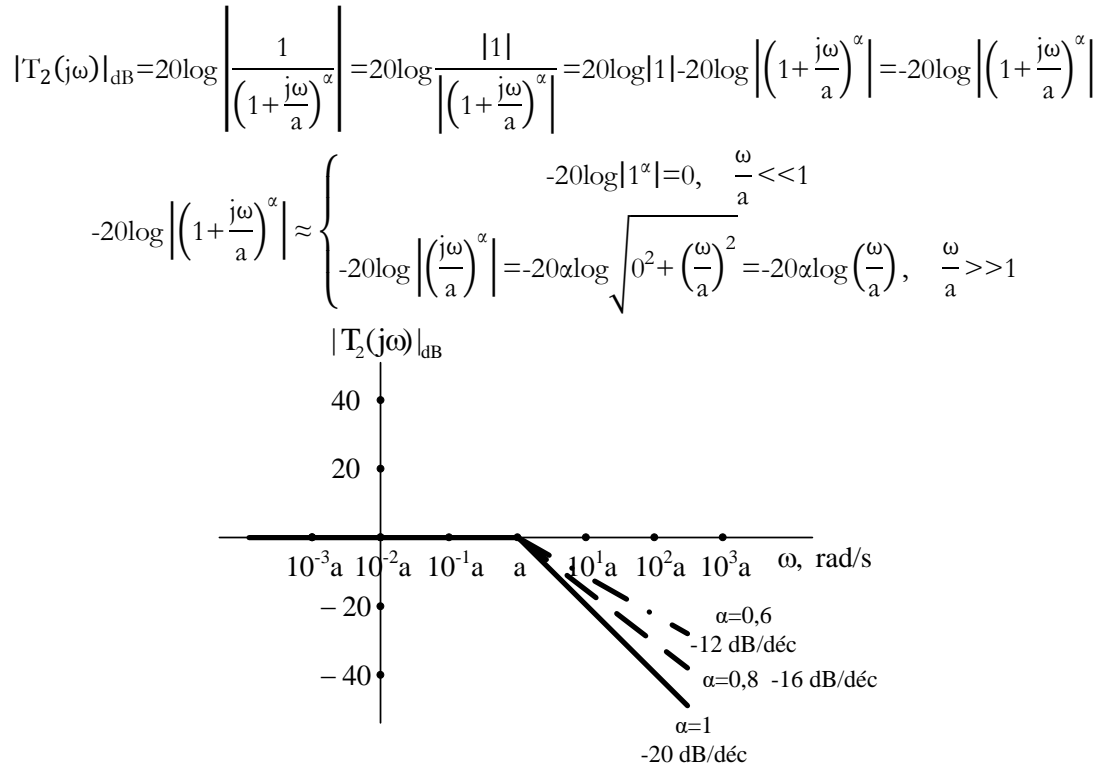
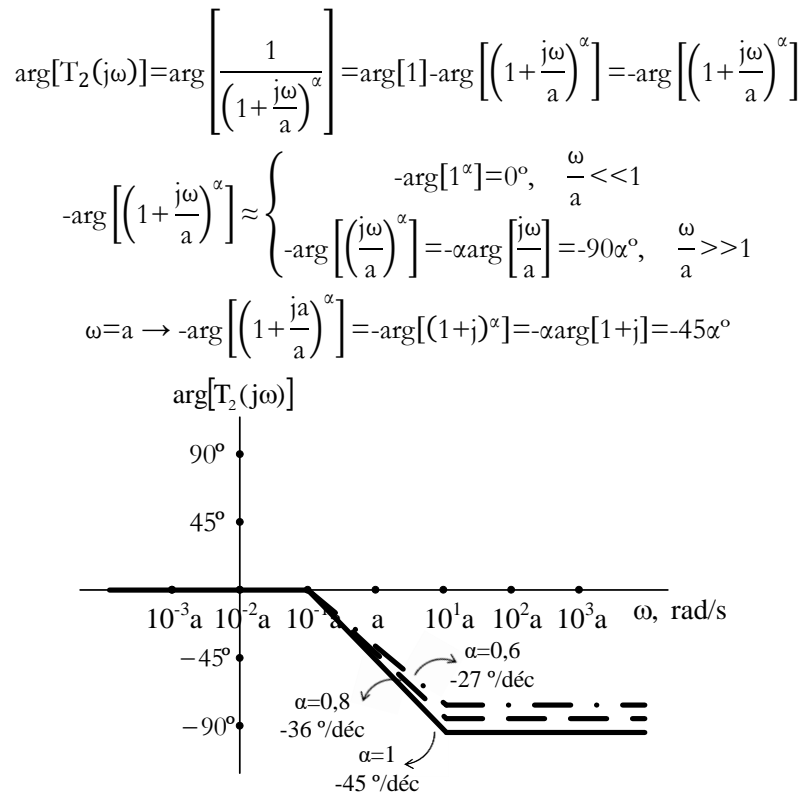


Diagrama de Bode de fase:



Nótese que se obtienen caídas de 20α dB/déc en el diagrama de Bode de módulo. Por otro lado, si nos fijamos en la figura del diagrama de Bode de fase, se observan rectas con una pendiente de $-45\alpha^\circ/\text{déc}$. Una década después del polo en a , la fase se estabiliza en $-90\alpha^\circ$.